

6.1.4 Eisen-Katalysatoren mit dem Zeolithtypen L und N

Beide Katalysatoren wurden von UCC hergestellt. Der Katalysator Nr. 187 enthielt den Zeolithtyp L mit 10 % Eisen. Er wurde im Versuch Nr. 107 untersucht. Der Katalysator Nr. 176 kam im Versuch Nr. 97 zum Einsatz. Er bestand aus dem Zeolithtyp N mit 50 % Eisen. Die Ergebnisse können der Tab. 6.4 und der Abb. 6.4 entnommen werden. Bei den Versuchen herrschte ein Druck von 11 bar. Eingesetzt wurde ein wasserstoffreiches Gas. Untersucht wurde der Temperaturbereich zwischen 250 und 280 °C.

Es wurden recht unterschiedliche Ergebnisse erhalten. Mit dem Typ L entstand eine kurzkettige Palette, die zu über 50 % aus C_{2/4}-Verbindungen bestand. Der Olefingehalt der C_{2/4}-Fraktion war allerdings sehr gering. Er lag zwischen 3,5 und 1,5 %. Nur noch 36 % der Butene besaßen eine endständige Doppelbindung. Der bei 6 % liegende Isobutananteil war gegenüber zeolithfreien Katalysatoren etwas erhöht.

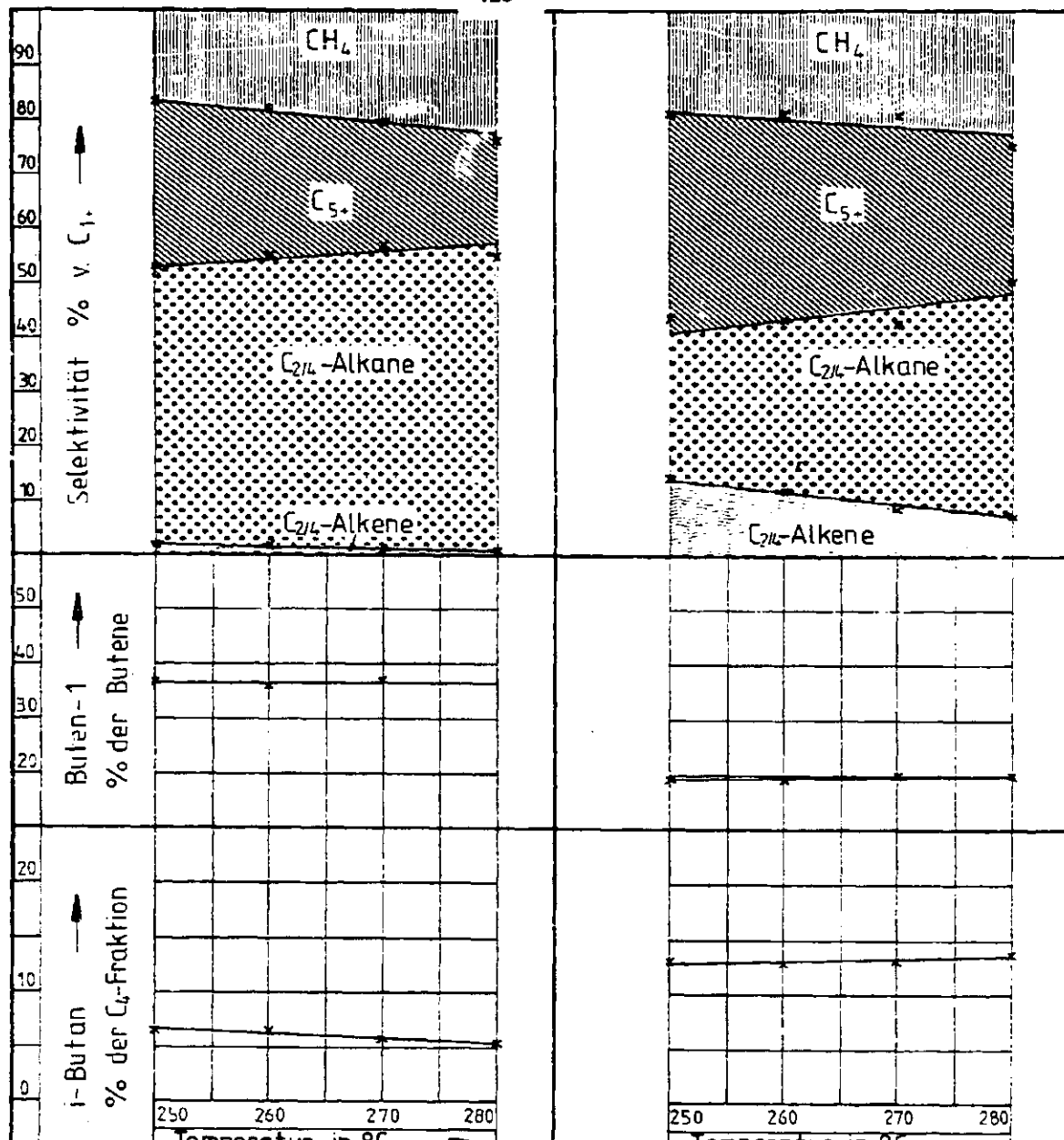
Am Typ N wurde eine längerkettige Palette gebildet. Die C_{2/4}-Selektivität lag zwischen 40 und 50 %. Der Olefingehalt der C_{2/4}-Fraktion war höher und betrug bei 250 °C 33 % und bei 280 °C 15 %. Wesentlich stärker als beim Typ L wurden die Doppelbindungen isomerisiert. Der Buten-1-Anteil betrug nur noch 20 %. Stärker erhöht (13 %) war auch der Isobutangehalt der C₄-Fraktion.

Tab. 6.4: Eisen-Zeolith-Mischkatalysatoren

Kat. Nr. 187, Typ I mit 10 % Fe; Kat. Nr. 176, Typ N mit 50 % Fe

REAKTIONSBEDINGUNGEN										GASENSATZ										OLEFIN = FRAKTION = C2/4 - OLEFINE	
KAT.	VERS.	DRUCK	TEMP.	RG	COD/H ₂	COD/H ₂	COD/H ₂	VON	EINSATZ	%	GEHALTE	C4	-	C2/4	-	GEHALT	AN				
NR.	NR.	BAR	GRD.C	1/H	F-GAS	R-GAS	Ums.	CC	H ₂	COD/H ₂	C2	C3	C4	C2/4	ALPHA-	ISOC-	ANTEIL	C2H ₄	C3H ₆	C4H ₈	
# 187	107.02	11	250	67	0.65	*	3.57	0.04	35.5	27.0	30.4	*	1.0	3.3	8.4	3.6	37.1	6.8	10.3	36.1	51.4
# 187	107.03	11	260	66	0.65	*	3.52	0.50	46.2	33.0	38.2	*	1.0	3.0	8.0	3.4	35.8	6.4	11.1	34.6	54.3
# 187	107.34	11	210	67	0.65	*	1.42	7.96	0.64	41.1	49.1	*	0.7	2.0	5.6	2.3	37.2	5.9	12.3	31.2	54.5
# 187	107.35	11	250	71	0.65	*	1.23	1.00	71.9	45.9	56.1	*	0.6	1.5	3.5	1.6	38.4	5.4	14.9	36.7	48.4
# 176	97.26	11	250	92	0.64	*	1.55	0.73	50.3	43.5	46.2	*	1.1	4.6	10.9	3.2	19.4	13.2	11.3	55.4	33.3
# 176	97.37	11	260	95	0.64	*	1.61	0.02	68.0	51.6	51.9	*	7.4	37.7	38.0	21.9	15.8	13.0	6.7	54.3	37.0
# 176	97.30	11	270	95	0.64	*	1.61	0.02	63.7	58.4	68.1	*	4.1	28.4	32.9	21.6	20.1	13.2	6.3	52.4	41.1
# 176	97.39	11	280	103	0.64	*	1.12	1.00	93.7	63.3	75.5	*	1.8	18.5	25.0	14.6	20.0	13.5	4.0	50.4	45.6

REAKTIONSBEDINGUNGEN										SELEKTIVITÄT										ZUSAMMENSETZUNG DES FT-HYDROKTES		
KAT.	VERS.	DRUCK	TEMP.	RG	COD/H ₂	COD/H ₂	COD/H ₂	VON	EINSATZ	%	I _n	H ₂	M ₁	M ₂	P ₁	P ₂	P ₃	C ₂ H ₄	C ₃ H ₆	C ₂ H ₆	C ₄ H ₈	
NR.	NR.	BAR	GRD.C	1/H	F-GAS	R-GAS	Ums.	CC	C1	C2	C3	C4	C5+	CH4	C2H ₄	C3H ₆	C4H ₈	C2H ₆	C3H ₈	C4H ₁₀	C5+	
# 187	107.32	11	250	67	0.65	*	1.49	16.6	20.0	20.9	12.3	30.2	*	17.9	0.2	20.0	0.7	20.0	1.0	11.0	29.3	1.1
# 187	107.33	11	260	66	0.65	*	1.9	11.8	21.0	21.4	12.6	27.3	*	19.2	0.2	21.3	0.6	20.5	0.5	11.3	26.4	1.3
# 187	107.34	11	270	67	0.65	*	1.3	20.2	22.2	22.1	12.7	22.8	*	21.7	0.2	22.2	0.4	21.3	0.7	11.7	21.9	1.2
# 187	107.35	11	280	71	0.65	*	0.9	23.5	21.9	21.2	11.7	21.6	*	25.2	0.1	21.9	0.3	20.4	0.4	10.9	20.8	0.5
# 176	97.36	11	250	92	0.64	*	14.6	19.0	16.1	17.8	11.9	37.0	*	20.7	1.6	12.5	7.7	4.6	6.9	35.8	12.6	
# 176	97.37	11	260	89	0.64	*	12.2	18.9	14.2	17.5	11.9	37.5	*	20.6	1.0	13.4	6.3	10.9	4.3	7.2	36.4	13.1
# 176	97.39	11	270	95	0.64	*	9.2	19.1	14.0	17.0	11.5	38.1	*	21.0	0.5	13.7	4.6	12.1	3.6	7.6	36.9	11.6
# 176	97.05	11	280	103	0.64	*	7.4	24.7	16.9	20.0	13.4	25.0	*	26.0	0.3	16.7	3.5	16.0	3.2	9.8	24.0	10.1



Kat. Nr. 187 Typ L m. 10 % Fe
 Vers.Nr. 107
 11 bar
 $\text{CO}/\text{H}_2 = 0,65$
 Raumgeschw. 70 h^{-1}

Kat. Nr. 176 Typ N m. 50 % Fe
 Vers.Nr. 97
 11 bar
 $\text{CO}/\text{H}_2 = 0,64$
 Raumgeschw. 95 h^{-1}

Abb. 6.4: Eisen-Zeolith-Mischkatalysatoren Zeolith-Typen L und N

6.1.5 Eisen-Katalysatoren mit dem Zeolithtyp M

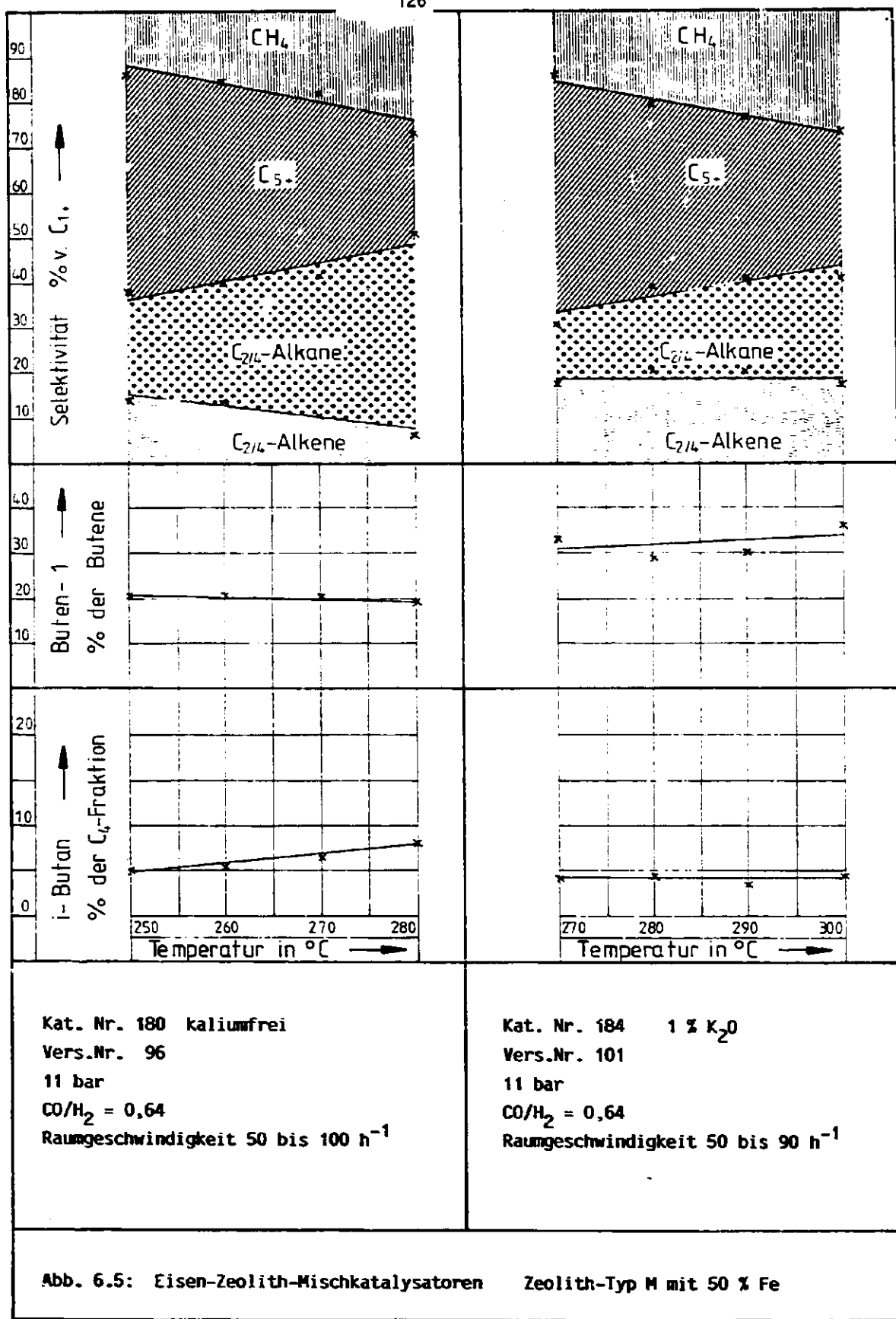
In den Festbettreaktoren sind fünf verschiedene Katalysatoren mit dem Zeolithtyp M untersucht worden, die unterschiedliche Eisengehalte aufwiesen, zum Teil alkalisiert waren und die uns UCC zur Verfügung stellte. Die Katalysatoren Nr. 180 und 184 enthalten jeweils 50 % Eisen. Der Katalysator Nr. 180, eingesetzt im Versuch Nr. 96, ist alkalifrei, der Katalysator Nr. 184, eingesetzt im Versuch Nr. 101, enthält 1 % K₂O. Die Ergebnisse zeigen die Tab. 6.5 und die Abb. 6.5. Bei den Versuchen betrug der Druck 11 bar. Eingesetzt wurde wasserstoffreiches Synthesegas mit einem CO/H₂-Verhältnis von 0,64. Dargestellt sind die Ergebnisse zweier Temperaturbereiche. Auch bei diesem zeolithhaltigen Katalysator ist der Einfluß des Kaliums deutlich zu beobachten. Beim Versuch Nr. 101 ist das Produktgemisch langkettiger, die C_{2/4}-Selektivität niedriger und die C_{2/4}-Olefinselektivität höher als Folge der höheren Olefingehalte der C₂ bis C₄-Fraktionen. Der Buten-1-Anteil ist erhöht, der Isobutangehalt besonders bei höheren Temperaturen gegenüber den Produkten vom kaliumfreien Katalysator vermindert.

Die Katalysatoren Nr. 178 und 182 haben einen Eisengehalt von 15 %. Der in Versuch Nr. 100 eingesetzte Katalysator Nr. 178 ist alkalifrei; der Katalysator Nr. 182 des Versuches Nr. 103 enthält 1 % K₂O. Der Tab. 6.6 und der Abb. 6.6 sind die Ergebnisse zu entnehmen. Die Wirkungen des Kaliums sind auch beim Versuch Nr. 103 deutlich zu beobachten.

Die Produktpalette ist längerkettig. Die C_{2/4}-Selektivität ist vermindert, ab 280 °C ist die C_{2/4}-Olefinselektivität erhöht, da die C_{2/4}-Fraktionen olefinreicher sind. Bei 300 °C beträgt der Olefingehalt dieser Fraktion beim kaliumfreien Katalysator 17 % beim kaliumhaltigen dagegen 41 %. Erhöht ist der Buten-1-Anteil, der in diesem Falle jedoch mit der Temperatur deutlich abfällt. Die Isobutangehalte unterscheiden sich bei beiden Versuchen nur wenig und nehmen mit steigender Temperatur zu.

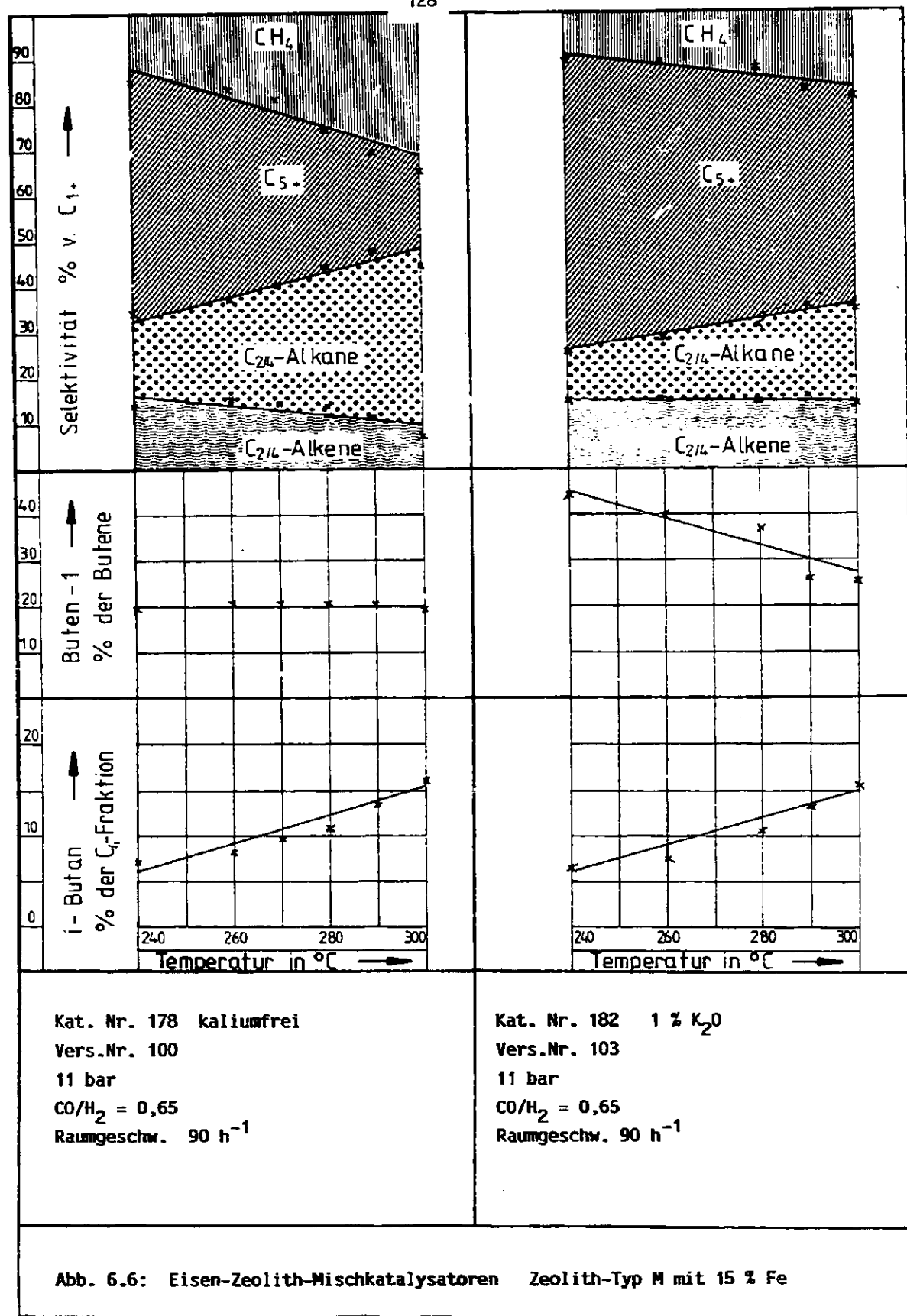
Tab. 6.5: Eisen-Zeolith-Mischkatalysatoren
Zeolith-Typ M mit 50 % Fe; Kat. Nr. 180, kaliumfrei; Kat. Nr. 184, 1 % K₂O

REAKTIONSBEDINGUNGEN		GASUMSATZ		OLEFIN		C4 - FRAKTION		C2/4 - OLEFINE							
KAT.	VERS.	DRUCK	TEMP.	CO/H ₂	CO/H ₂ + C ₁ /H ₂	% VON EINSATZ	% DER FRAKTIONEN	ALPHA-	GEHALT AN						
•	MR.	MR.	GEO.C	1/H ₂ I-GAS	R-GAS	UWS.	C ₂	C ₃	C ₄ C ₂ /4						
•	180	96-J6	11	250	51	0.64	0.53	0.74	57.2 49.0 52.2						
•	180	96-J7	11	260	55	0.64	0.46	0.79	64.1 51.3 56.4						
•	180	96-J3	11	270	95	0.64	0.35	0.85	74.8 54.8 62.4						
•	180	96-J3	11	280	104	0.64	0.20	1.00	87.6 50.9 73.5						
•	186	101-J1	11	270	09	0.65	J.53	0.77	55.2 45.8 49.5						
•	184	101-J2	11	280	53	0.64	J.27	0.92	0.0 0.0 0.0						
•	184	101-J3	11	290	61	1.64	J.30	0.94	77.1 52.0 61.0						
•	184	101-J4	11	300	62	0.64	0.23	0.95	0.3 0.8 0.5						
REAKTIONSBEDINGUNGEN		SETZKONTAKT		ZUSAMMENSETZUNG DES FT-PRUD		C2/4		C2/4							
•	KAT.	VERS.	DRUCK	TEMP.	I-G	CO/H ₂ - I/H ₂ - ULLF.	C ₁	C ₂	C ₃	C ₄	MASSENANTEIL	OLEFIN	•	C2/4	
•	MR.	MR.	BAR	GEO.C	1/H ₂	I-GAS	C ₁	C ₂	C ₃	C ₄	CH ₄ C ₂ H ₄ C ₂ H ₆ C ₃ H ₈ C ₄ H ₁₀ C ₅ *	G/NM ₂	•	C2/4	
•	180	96-J6	11	250	51	0.64	14.1	16.1	9.6	15.5	12.9 48.0	15.5	0.6	9.2	6.9 8.4
•	180	96-J7	11	260	55	0.64	13.3	15.7	10.4	16.3	13.1 47.1	17.2	0.6	10.1	6.5 9.6
•	180	96-J8	11	270	95	0.64	10.3	10.6	11.7	16.9	13.0 46.1	20.0	0.5	11.5	4.7 11.9
•	180	96-J9	11	280	104	0.64	6.3	26.9	15.6	20.5	11.7 22.3	0.2	15.5	2.5	17.5 3.3
•	184	101-J1	11	270	89	0.65	17.3	14.3	7.6	12.5	10.5 55.2	15.8	1.7	6.1	8.1 4.2
•	184	101-J2	11	280	51	0.64	20.2	20.7	10.6	16.1	13.0 40.2	22.6	1.6	8.5	9.9 5.8
•	184	101-J3	11	290	61	0.64	20.4	23.3	14.0	16.9	13.1 35.8	25.4	1.4	9.6	7.8 4.8
•	184	101-J4	11	300	62	0.64	18.2	26.6	11.8	16.8	17.2 32.6	20.9	1.2	10.7	9.2 7.1



Tab. 6.6: Eisen-Zeolith-Mischkatalysatoren

ZUSAMMENSETZUNG DES FT-PRODUKTES										C 2-/	
MASSENPROZENT										OLEF.	
1 N										G/NM2	
REAKTIONSTEMP.	5 C L E K T I V I T A E T	G 2 / 4 -	Z	V G N	C 1 +	C 1	C 2	C 3	C 4	CH4	C2H4
KAT.	G 2 / 4 -	Z	V G N	C 1 +	C 1	C 2	C 3	C 4	C 5 +	C3H6	C3H8
VERS.	BAK	G / D	I / N	E - GAS	ULLI						
NR.	IR.										
1170	100,0	11	240	86	0,65	6	16,1	15,0	9,2	14,2	11,1
1176	100,0	7,9	11	26,7	1,65	4	15,6	16,8	10,2	15,6	11,8
1178	100,0	35	11	27,1	0,6	4	14,6	10,1	11,4	16,0	12,2
1180	100,0	0,06	11	20,0	0,64	4	14,0	25,4	14,3	18,6	11,6
1182	100,0	1,1	11	30,0	0,64	4	11,2	31,6	14,0	10,9	12,1
1186	100,0	1,1	11	30,0	0,64	4	7,4	34,5	16,0	17,5	10,2
1188	100,0	1,1	11	30,0	0,64	4	7,4	34,5	16,0	17,5	10,2
1192	103,1	1,1	240	88	0,65	4	15,1	10,4	5,5	9,7	10,4
1198	103,1	1,1	26,7	90	0,65	4	15,7	10,9	5,9	11,0	11,0
1202	103,1	1,1	26,3	91	0,65	4	14,9	12,4	7,0	12,2	12,5
1204	103,1	1,1	29,0	88	0,65	4	16,1	17,1	8,0	13,8	12,9
1206	103,1	1,1	31,0	89	0,65	4	14,3	10,8	9,3	13,5	12,1
1208	103,1	1,1	31,0	89	0,65	4	14,3	10,8	9,3	13,5	12,1
1212	103,1	1,1	31,0	89	0,65	4	14,3	10,8	9,3	13,5	12,1



Bei den Versuchen Nr. 96 und 100 unterscheiden sich die Katalysatoren nur durch den Eisengehalt. Beide Katalysatoren enthalten kein Kalium. Ein Vergleich der Ergebnisse zeigt, daß die Unterschiede in den Selektivitäten und im Buten-1-Anteil gering sind. Dagegen ist der Isobutangehalt beim eisenärmeren Katalysator des Versuches Nr. 100 deutlich höher als beim eisenreicherem Katalysator des Versuches Nr. 96.

Auch die alkalihaltigen Katalysatoren der Versuche Nr. 101 und 103 unterscheiden sich nur durch den Eisengehalt. Auch in diesem Falle sind die Buten-1-Anteile nicht sehr unterschiedlich. Der eisenreichere Katalysator des Versuches Nr. 101 weist wiederum den niedrigeren Isobutangehalt auf. Bei diesem Versuch Nr. 101 scheinen auch etwas kurzkettigere Produktpaletten gebildet zu werden.

Bei den eisenärmeren Katalysatoren scheint sich die kettenverzweigende Wirkung des Zeolithen stärker durchzusetzen. Mit wachsendem Eisengehalt nimmt erwartungsgemäß auch der Gasumsatz zu.

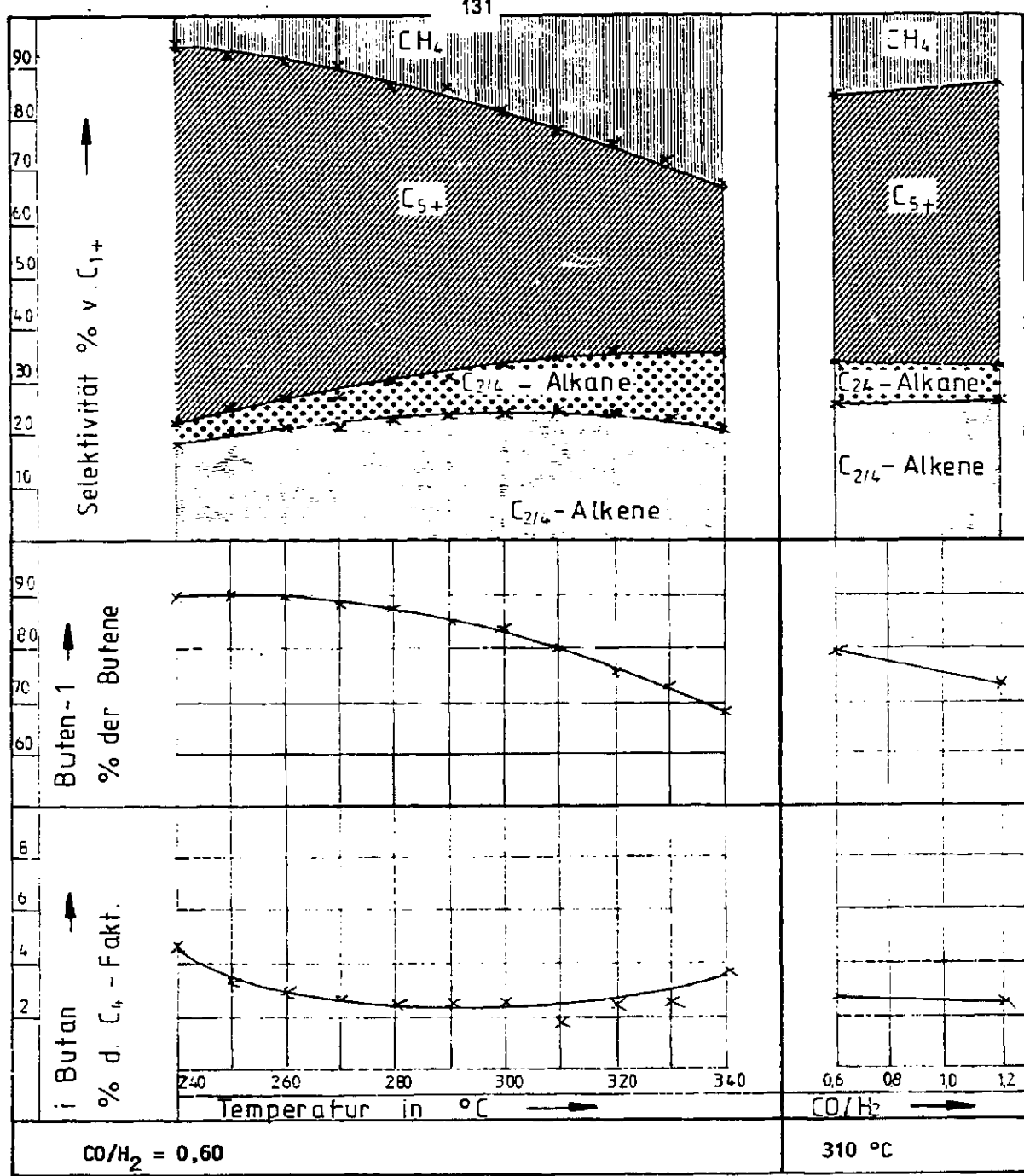
Der Katalysator Nr. 195 enthält 10 % Eisen und 5 % K_2O . Es handelte sich somit um einen eisenarmen und alkalireichen Katalysator. Er ist im Vers. Nr. 124 untersucht worden. Dabei erzielte Ergebnisse sind in der Tab. 6.7 und der Abb. 6.7 zusammengefaßt. Bei einem Druck von 11 bar betrug die Raumgeschwindigkeit 90 h^{-1} . Ermittelt wurde zum einen bei einem CO/H_2 -Verhältnis von 0,6 der Einfluß der Temperatur zwischen 240 und 340 °C und zum anderen bei einer Temperatur von 310 °C der Einfluß des CO/H_2 -Verhältnisses.

Erwartungsgemäß nimmt mit steigender Temperatur die mittlere Kettenlänge ab. Die $C_{2/4}$ -Selektivität steigt, der Olefingehalt vermindert sich. Die $C_{2/4}$ -Olefinselektivität durchläuft bei etwa 310 °C ein flaches Maximum. Der Buten-1-Anteil ist recht hoch. Er vermindert sich von 90 auf 70 %. Der Isobutangehalt der C_4 -Fraktion ist mit 2 bis 4 % recht niedrig und gegenüber einem zeolithfreien Katalysator kaum erhöht. Mit wachsendem CO-Gehalt im Frischgas wächst die mittlere Kettenlänge. Die $C_{2/4}$ -Olefinselektivität und der Isobutangehalt sind praktisch konstant. Der Buten-1-Anteil fällt ab.

Tab. 6.7: Eisen-Zeolith-Mischkatalysatoren
Kat. Nr. 195, Zeolith-Typ M mit 10 % Fe und 5 % K₂O

REAKTIONSDINGUNGEN										GASUMSATZ										OLEFIN - GEHALTE										C4 - FRAKTICH + C2/4 - GLEFINE			
KAT.	VERS.	DRUCK	TEMP.	PG.	CO/H ₂	CO/H ₂	C ₂ /H ₂	C ₂ /H ₂	H-GAS	UHS.	% UHS.	VCH EINSATZ	C/C	H ₂	CCH ₂	C ₂	C ₃	C ₄	C ₂ /4	ANTEIL ANTEIL	ALPH-	ISO-	C ₂ H ₆	C ₃ H ₆	C ₄ H ₈	GERALT	AN						
* 195	124.13	11	240	95	0.60	0	1.56	0.72	0	30.9	21.6	27.5	69.2	0.3	79.6	78.3	*	50.7	6.7	22.5	40.6	36.9	*	*	*	*	*	*	*	*			
* 195	124.16	11	250	94	0.60	0	0.52	0.82	0	35.0	25.6	29.1	66.1	0.3	81.2	78.0	*	89.7	3.4	22.0	40.0	38.1	*	*	*	*	*	*	*				
* 195	124.01	11	260	93	1.60	0	1.47	0.94	0	42.5	27.0	32.6	62.3	0.6	82.0	77.8	*	88.5	3.0	20.0	41.3	38.7	*	*	*	*	*	*	*				
* 195	124.12	11	270	93	0.60	0	1.39	1.10	0	55.7	30.7	40.1	57.2	0.4	82.7	76.9	*	87.7	2.1	18.7	42.0	39.3	*	*	*	*	*	*	*				
* 195	124.13	11	280	97	0.59	0	1.13	0.83	0	63.5	33.6	44.7	54.7	0.5	83.3	76.5	*	86.7	2.5	18.2	42.3	39.4	*	*	*	*	*	*	*				
* 195	124.13	11	290	88	0.59	0	1.27	1.22	0	71.5	35.5	49.0	51.1	0.3	83.3	75.2	*	84.6	2.4	17.7	43.1	39.2	*	*	*	*	*	*	*				
* 195	124.13	11	300	93	0.62	0	1.16	0	75.6	40.4	51.8	49.1	0.4	84.2	83.1	*	82.5	2.4	19.4	43.9	36.8	*	*	*	*	*	*	*					
* 195	124.17	11	310	96	0.61	0	1.25	1.09	0	75.9	42.1	54.8	47.5	0.2	83.2	83.3	*	71.8	0.5	21.1	44.7	34.1	*	*	*	*	*	*	*				
* 195	124.23	11	310	96	0.61	0	1.27	1.08	0	73.7	41.4	51.6	41.7	0.7	78.7	79.6	*	66.1	1.4	21.9	46.2	32.0	*	*	*	*	*	*	*				
* 195	124.38	11	320	91	0.61	0	1.26	1.24	0	75.5	43.3	55.4	41.7	0.8	76.8	78.0	*	64.1	1.1	22.9	46.2	29.9	*	*	*	*	*	*	*				
* 195	124.41	11	330	93	0.61	0	1.26	1.26	0	78.8	46.7	58.6	39.1	0.7	71.7	71.7	*	58.2	0.6	66.2	66.1	27.8	*	*	*	*	*	*	*				
* 195	124.16	11	340	92	0.61	0	2.24	1.00	0	75.9	42.1	54.8	47.5	0.2	83.2	83.3	*	71.6	0.5	21.2	44.7	34.1	*	*	*	*	*	*	*				
* 195	124.21	11	310	96	0.61	0	0.25	1.09	0	75.9	42.1	54.8	47.5	0.2	83.2	83.3	*	71.6	0.5	21.1	44.7	34.1	*	*	*	*	*	*	*				
* 195	124.25	11	310	96	0.61	0	1.34	0	68.2	49.6	58.6	53.0	0.8	80.1	76.5	*	79.4	1.6	20.7	43.7	35.6	*	*	*	*	*	*	*					
* 195	124.27	11	310	98	1.22	0	1.21	1.53	0	67.7	55.1	62.1	51.6	0.5	85.2	86.3	*	76.5	1.5	18.3	44.0	37.7	*	*	*	*	*	*	*				

SELEKTIVITÄT										ZUSAMMENSETZUNG DES FT-PRODUKTES										C2/4-SELEKTIVITÄT										C2/4-	
KAT.	VERS.	DRUCK	TEMP.	PG.	CO/H ₂	CO/H ₂	C ₂ /4-	C ₂ -	V/C N	C ₁	C ₂	C ₃	C ₄	C ₅₊	C ₁	C ₂	C ₃	C ₄	C ₅₊	C ₁	C ₂	C ₃	C ₄	C ₅₊	C ₁	C ₂	C ₃	C ₄	C ₅₊	CLEF.	G/N#2
* 195	124.13	11	260	95	0.61	0	1.81	5.8	5.9	8.8	8.4	71.1	*	6.6	4.0	1.9	7.2	1.5	6.6	1.7	7.0	4.3	1.0	1.7	7.5	1.8	6.4	11.7	11.7		
* 195	124.15	11	250	94	0.60	0	20.1	7.1	6.7	9.6	9.4	61.7	*	0.0	4.3	2.4	7.9	1.1	7.5	1.1	6.6	1.1	1.9	62.7	1.4	2.2	1.8	1.2	1.2		
* 195	124.01	11	260	93	0.60	0	21.7	6.6	7.0	10.7	10.2	63.5	*	9.6	4.3	2.8	8.8	1.7	8.2	1.7	6.2	1.6	1.8	61.5	1.7	0.2	1.8	1.2	1.2		
* 195	124.12	11	270	90	0.63	0	21.3	9.9	7.0	10.6	10.1	62.9	*	11.0	3.9	3.1	8.8	1.7	8.0	1.7	6.2	1.6	1.8	56.3	4	20.4	1.8	1.2	1.2		
* 195	124.11	11	260	87	0.59	0	23.1	12.4	7.7	11.6	10.9	57.4	*	13.0	4.1	3.6	9.5	1.5	9.8	1.5	8.9	1.4	1.8	54.0	4	22.4	1.8	1.2	1.2		
* 195	124.15	11	290	80	0.59	0	23.3	13.9	8.1	11.9	10.9	55.2	*	15.4	4.0	4.0	9.8	1.5	9.8	1.5	8.7	1.4	1.8	48.2	4	25.4	1.8	1.2	1.2		
* 195	124.17	11	300	93	0.62	0	24.3	11.5	9.6	12.7	10.8	49.5	*	19.3	4.6	5.1	10.3	2.0	8.7	1.8	8.7	1.7	1.8	42.7	4	26.9	1.8	1.2	1.2		
* 195	124.23	11	310	96	3.61	0	25.6	21.2	11.4	13.8	10.5	43.1	*	23.4	5.2	6.2	11.0	2.3	8.4	1.7	8.4	1.7	1.8	37.7	4	24.4	1.8	1.2	1.2		
* 195	124.15	11	320	91	0.61	0	24.1	24.4	12.6	14.1	9.7	39.1	*	26.7	5.0	7.6	10.6	3.0	7.4	2.0	33.2	1.3	6.8	2.0	33.2	1.3	24.6	1.8	1.2	1.2	
* 195	124.43	11	320	93	0.61	0	23.8	28.2	13.7	14.3	9.1	34.7	*	30.7	5.4	8.1	10.5	3.1	6.8	2.0	33.2	1.3	6.8	2.0	33.2	1.3	24.6	1.8	1.2	1.2	
* 195	124.46	11	340	92	0.61	0	21.5	32.2	14.6	14.2	8.3	30.9	*	34.0	5.3	8.9	9.4	4.3	5.6	2.3	29.6	1.6	2.3	2.3	29.6	1.6	23.2	1.8	1.2	1.2	
* 195	124.21	11	310	96	0.61	0	25.6	21.2	11.1	13.8	10.5	43.1	*	23.4	5.2	6.2	11.0	2.3	8.4	1.7	41.7	1.4	26.9	1.8	1.2	1.2					
* 195	124.23	11	310	94	0.99	0	26.5	15.0	10.2	13.5	10.9	50.4	*	16.7	5.3	4.9	11.2	2.0	9.2	1.5	49.2	1.4	30.4	1.8	1.2	1.2					
* 195	124.23	11	310	88	1.22	0	26.0	12.1	9.2	13.5	11.4	53.9	*	13.5	4.6	4.7	11.2	2.0	9.6	1.6	52.0	1.4	31.9	1.8	1.2	1.2					
* 195	124.27	11	310	88	1.22	0	26.0	12.1	9.2	13.5	11.4	53.9	*	13.5	4.6	4.7	11.2	2.0	9.6	1.6	52.0	1.4	31.9	1.8	1.2	1.2					



11 bar

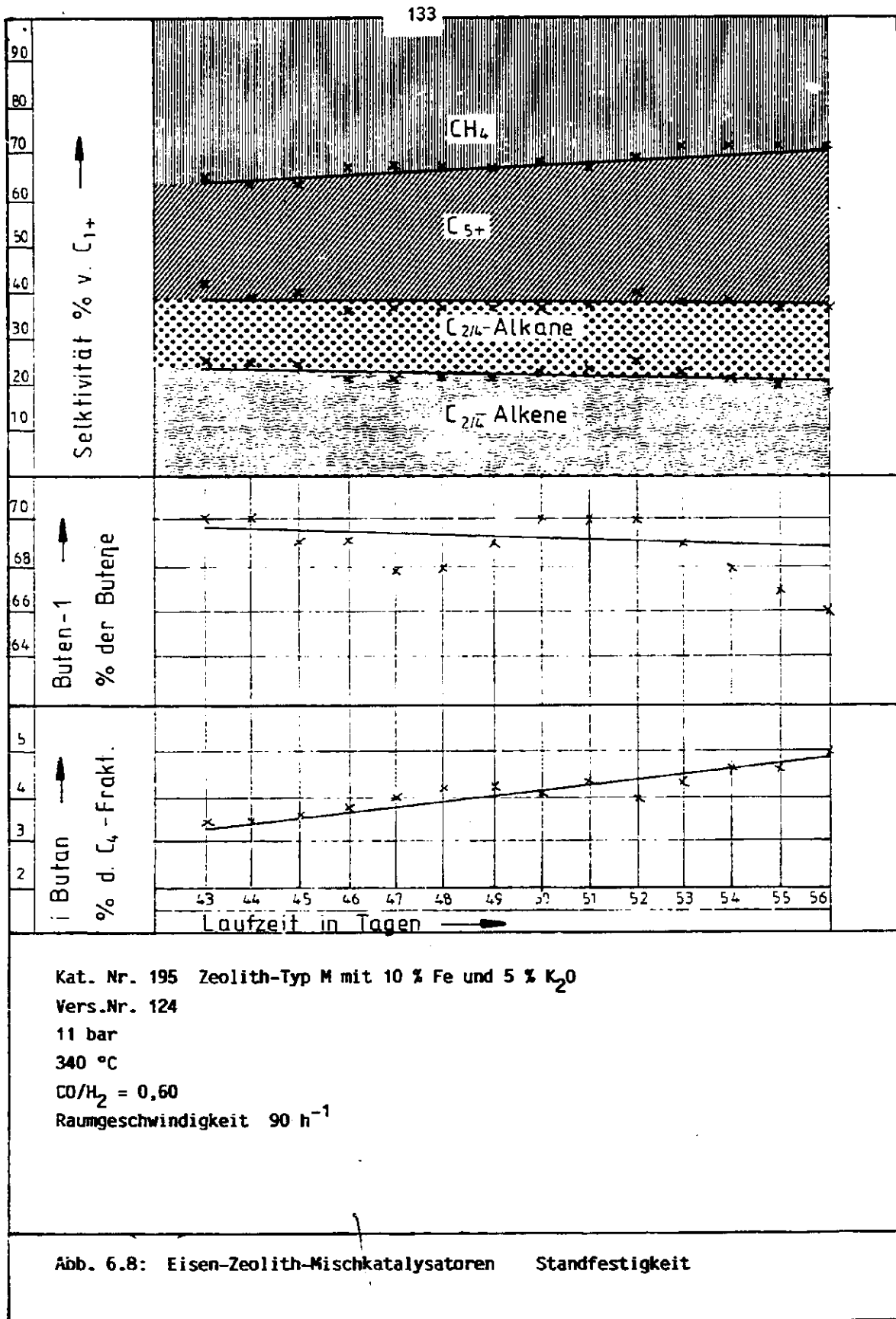
Raumgeschwindigkeit 90 h⁻¹

Vers. Nr. 124

Kat. Nr. 195

Abb. 6.7: Eisen-Zeolith-Mischkatalysatoren
Zeolith-Typ M mit 10 % Fe und 5 % K₂O

Tab. 6.8: Eisen-Zeolith-Mischkatalysatoren, Standfestigkeit



Schließlich wird in Tab. 6.8 und in Abb. 6.8 das zeitliche Verhalten dieses Katalysators Nr. 195 unter konstanten Bedingungen gezeigt. Bei dieser Standfestigkeitserprobung betrugen der Druck 11 bar, die Temperatur 340 °C, das CO/H₂-Verhältnis im Frischgas 0,6 und die Raumgeschwindigkeit 90 h⁻¹.

Diese Bedingungen wurden vom 43. bis 56. Fahrtag konstant gehalten. Während dieses Zeitraumes nahm die mittlere Kettenlänge zu. Der C₅₊-Anteil stieg von 25 auf 33 %, der CH₄-Anteil fiel von 35 auf 29 %. Die Selektivität der C_{2/4}-Olefine nahm geringfügig von etwa 24 auf 22 % ab. Der Buten-1-Anteil war trotz der schon langen Fahrzeit noch recht hoch. Er verminderte sich von 70 auf 68 %. Der Isobutangehalt der C₄-Fraktion stieg von 3,5 auf etwa 5 %. Auch der Gasumsatz war während des Untersuchungszeitraumes unverändert.

Unter Berücksichtigung des Katalysatoralters bei Beginn dieser Untersuchung, der hohen Reaktionstemperatur von 340 °C und der kaum veränderten Produktpalette während dieses Zeitraums, ist die Standfestigkeit dieses Eisen-Zeolith-Mischkatalysators gut.

6.1.6 Vergleich der Eisen-Zeolith-Mischkatalysatoren

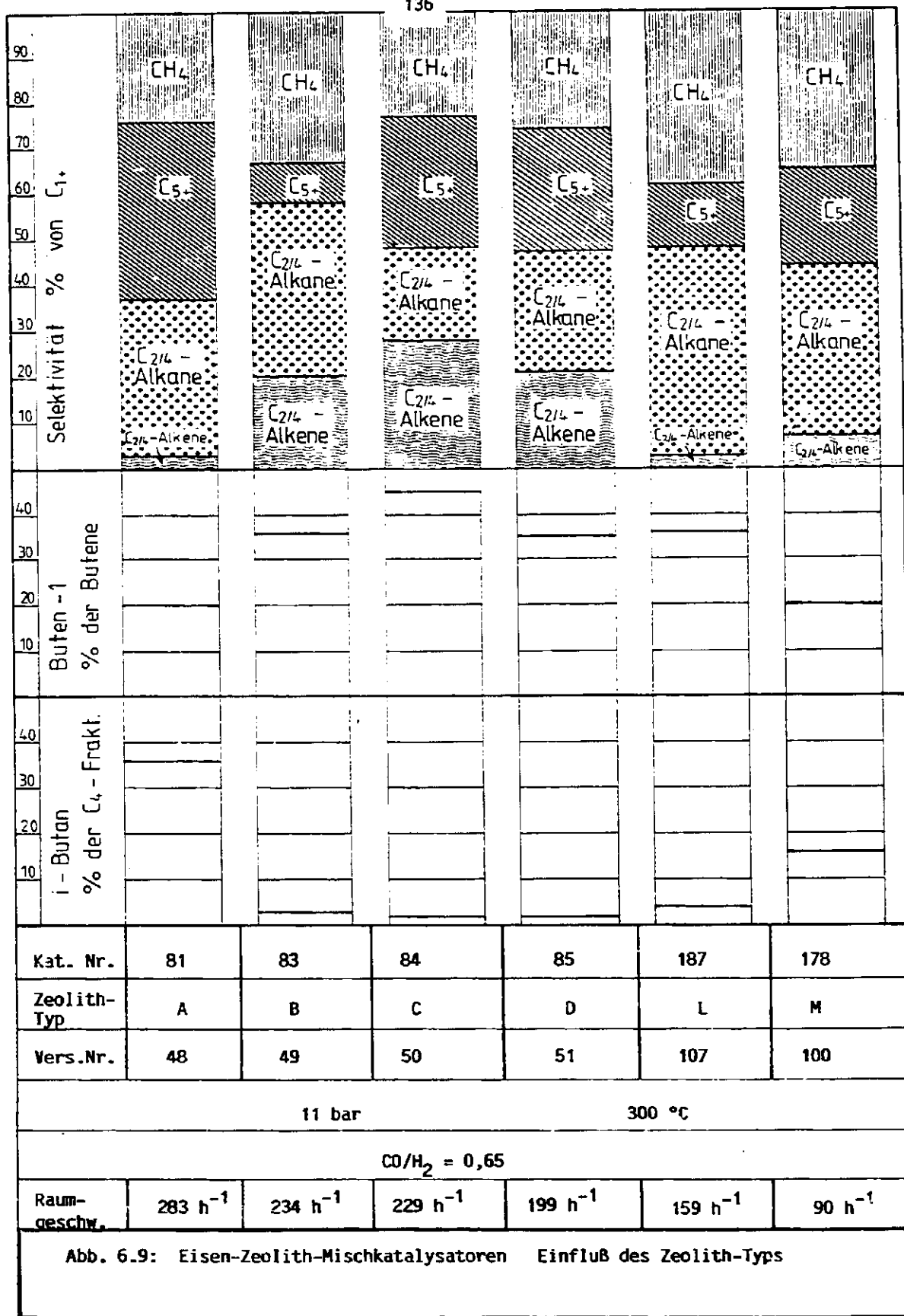
In Tab. 6.9 und in Abb. 6.9 sind Ergebnisse gegenübergestellt, die mit Mischkatalysatoren unterschiedlichen Zeolithtyps bei 11 bar und 300 °C mit wasserstoffreichem Synthesegas (CO/H₂ = 0,65) erhalten wurden. Am aktivsten ist der Katalysator Nr. 81 mit dem Zeolithtyp A, bei ihm sind Raumgeschwindigkeit und Umsatz am höchsten. Die kleinste Aktivität hat der Katalysator Nr. 178 mit dem Zeolithtyp M. Hier sind Umsatz und Raumgeschwindigkeit am geringsten. Recht unterschiedlich sind die Produktpaletten zusammengesetzt. Beim Typ B ist der C₅₊-Anteil mit 8 % am kleinsten und der C_{2/4}-Anteil mit 59 % am höchsten, beim Typ A ist umgekehrt der C₅₊-Anteil mit 39 % am größten und der C_{2/4}-Anteil mit 37 % am kleinsten. Die höchste Methanbildung wird mit 38 % beim Typ L beobachtet. Auch die Olefingehalte der C_{2/4}-Fraktion weichen erheblich voneinander ab. Die stärkste Hydrierung und damit die niedrigsten Olefingehalte finden bei den Typen L (6 %) und A (8 %), den höchsten Gehalt

Tab. 6.9: Eisen-Zeolith-Mischkatalysatoren, Einfluß des Zeolith-Typs

Kat. Nr.	81	83	84	85	187	178
Zeolith-Typ	A	B	C	D	L	M

REAKTURUSSELDNUNGEN						
KAT.	VERG.	DRUCK	TEMP.	RC	CO/H ₂	CC/H ₂
81	MR.	JAR	GRD.C. 1/H	F-GAS	0.63	0.4
83	49.06	11	300	234	0.65	0.20
84	50.35	11	303	229	0.65	0.15
85	31.35	11	303	199	0.68	0.11
187	117.12	11	303	159	0.65	0.12
178	117.38	11	300	50	0.64	0.33

OLEFIN - FRAKTION						
DER FRAKTIONEN						
KAT.	VERG.	DRUCK	TEMP.	RC	CO/H ₂	CC/H ₂
81	MR.	JAR	GRD.C. 1/H	F-GAS	0.87	0.70
83	49.06	11	300	203	0.63	0.4
84	50.35	11	303	229	0.65	0.15
85	31.35	11	303	199	0.68	0.11
187	117.12	11	303	159	0.65	0.12
178	117.38	11	300	50	0.64	0.33



beim Typ C (58 %). Die geringsten $C_{2/4}$ -Olefinselektivitäten werden auf Grund der starken Hydrierung mit jeweils nur 3 % bei den Typen A und L beobachtet. Beim Typ C beträgt diese Olefinselektivität 28 %.

Die Typen A und M verursachen die stärkste Doppelbindungs-isomerisierung, der Typ C die geringste. Die Butene enthalten bei den Typen A und M 20 % und bei Typ C 45 % Alpha-Olefine.

Bei den Typen B, C und D liegt der Isobutananteil der C_4 -Fraktion bei etwa 2 %. Er unterscheidet sich kaum von dem zeolithfreier Katalysatoren. Erheblich erhöht ist dagegen der Isobutangehalt (36 %) beim Typ A. Dieser Zeolithtyp begünstigt bei der Synthese die Bildung verzweigtkettiger Verbindungen.

6.2 Katalysatoren mit Mangan und Eisen als syntheseaktiver Komponente

Eingesetzt wurden sieben manganreiche Katalysatoren, die mit sechs unterschiedlichen Zeolithtypen kombiniert waren. Sechs dieser Katalysatoren waren von uns, einer von Union Carbide hergestellt worden.

6.2.1 Mn/Fe-Katalysatoren mit dem Zeolithtyp A

Die von uns hergestellten Katalysatoren unterschieden sich durch das Mn/Fe-Verhältnis. Beim Katalysator Nr. 90, der im Versuch Nr. 59 erprobt wurde, betrug das Mn/Fe-Verhältnis 72/28, beim Katalysator Nr. 94, der im Versuch Nr. 53 zum Einsatz kam, 82/18. Die Ergebnisse zeigen die Tab. 6.10 und die Abb. 6.10. Reaktionsbedingungen waren ein Druck von 11 bar, CO/H_2 -Verhältnisse von etwas über 1 und Raumgeschwindigkeiten zwischen 200 und 250 h^{-1} . Die Temperatur wurde zwischen 270 und 300 °C variiert. Mit dem manganreicher Katalysator des Versuches Nr. 53 wurde eine langkettigere Palette mit verminderter $C_{2/4}$ -Selektivität aber nur geringfügig verminderter $C_{2/4}$ -Olefinselektivität erhalten, da der Olefingehalt dieser Fraktion anstieg. Der Buten-1-Anteil betrug bei 270 °C in beiden Fällen etwa 20 % und fiel bis 300 °C beim manganreicher Katalysator weniger stark ab. Der Isobutangehalt war in beiden Fällen gering (1 bis 1,5 %) und unterschied sich kaum von dem, der mit zeolithfreien Katalysatoren erhalten wird.

Tab. 6.10: Mn/Fe-Zeolith-Mischkatalysatoren
Zeolith-Typ A, Kat. Nr. 90, Mn/Fe = 72/28; Kat. Nr. 94, Mn/Fe = 82/18

REAKTIONSBEDINGUNGEN			GÄRUMSATZ			QUELLIN - GEHALTE			C4 - FRAKTION • C2/4 - OLEFINE		
KAT.	VERS.	DRUCK	IG	C1/H2	C0/H2	% VON EINSATZ	% DER FRAKTIONEN	• ALPHA-	ISO-	GEHALT	AN
NR.	NR.	BAR	GRU-C	I/H	F-GAS	UHS,	C1	C2	C3	C4	ANTEIL
90	59-J2	11	270	217	1.02	0.46	1.54	79.8	54.1	61.2	81.5
90	59-J1	11	280	211	1.02	0.29	1.57	60.8	59.3	76.4	52.7
90	59-J3	11	290	200	1.01	0.21	1.54	92.5	62.6	71.0	39.5
90	59-J5	11	300	200	1.01	0.20	1.51	93.1	66.6	79.2	27.3
94	53-J2	11	270	204	1.09	0.77	1.35	65.7	52.1	59.1	62.7
94	53-J1	11	280	216	1.09	0.64	1.45	72.3	53.4	61.2	61.8
94	53-J3	11	290	199	1.09	0.42	1.51	64.2	59.6	72.3	50.3
94	53-J5	11	300	253	1.09	0.38	1.49	65.5	62.0	74.6	39.0
94	53-J2	11	270	214	1.09	0.77	1.34	65.7	52.1	59.1	62.7
94	53-J1	11	280	216	1.09	0.64	1.45	72.3	53.4	61.2	61.8
94	53-J3	11	290	199	1.09	0.42	1.51	64.2	59.6	72.3	50.3
94	53-J5	11	300	253	1.09	0.38	1.49	65.5	62.0	74.6	39.0

REAKTIONSBEDINGUNGEN			S E L L K T I V I T A E T			ZUSAMMENSETZUNG DES FT-PRODUKTES			C2/4		
KAT.	VERS.	DRUCK	IG	C1/H2	C2/4-	X	V C N	C L	I H	M A S S E N P R O Z E S S	O L E F I
NR.	NR.	DAK	GFD/C	1/H	F-GAS	1/LF	C1	C2	C3	C4	C2/4
90	59-J2	11	270	217	1.02	0	30.0	9.5	10.2	14.8	12.2
90	59-J3	11	280	211	1.02	0	30.7	11.5	11.0	16.1	12.7
90	59-J5	11	290	200	1.01	0	29.5	14.4	12.0	17.3	14.1
90	53-J2	11	300	200	1.01	0	26.7	16.6	12.5	15.2	14.0
94	53-J2	11	270	214	1.09	0	27.2	9.1	5.2	13.7	11.1
94	53-J1	11	280	216	1.09	0	27.7	9.0	5.1	13.9	11.3
94	53-J3	11	290	199	1.09	0	28.4	10.5	10.1	15.3	12.0
94	53-J5	11	300	253	1.09	0	27.5	12.6	11.1	16.2	12.2

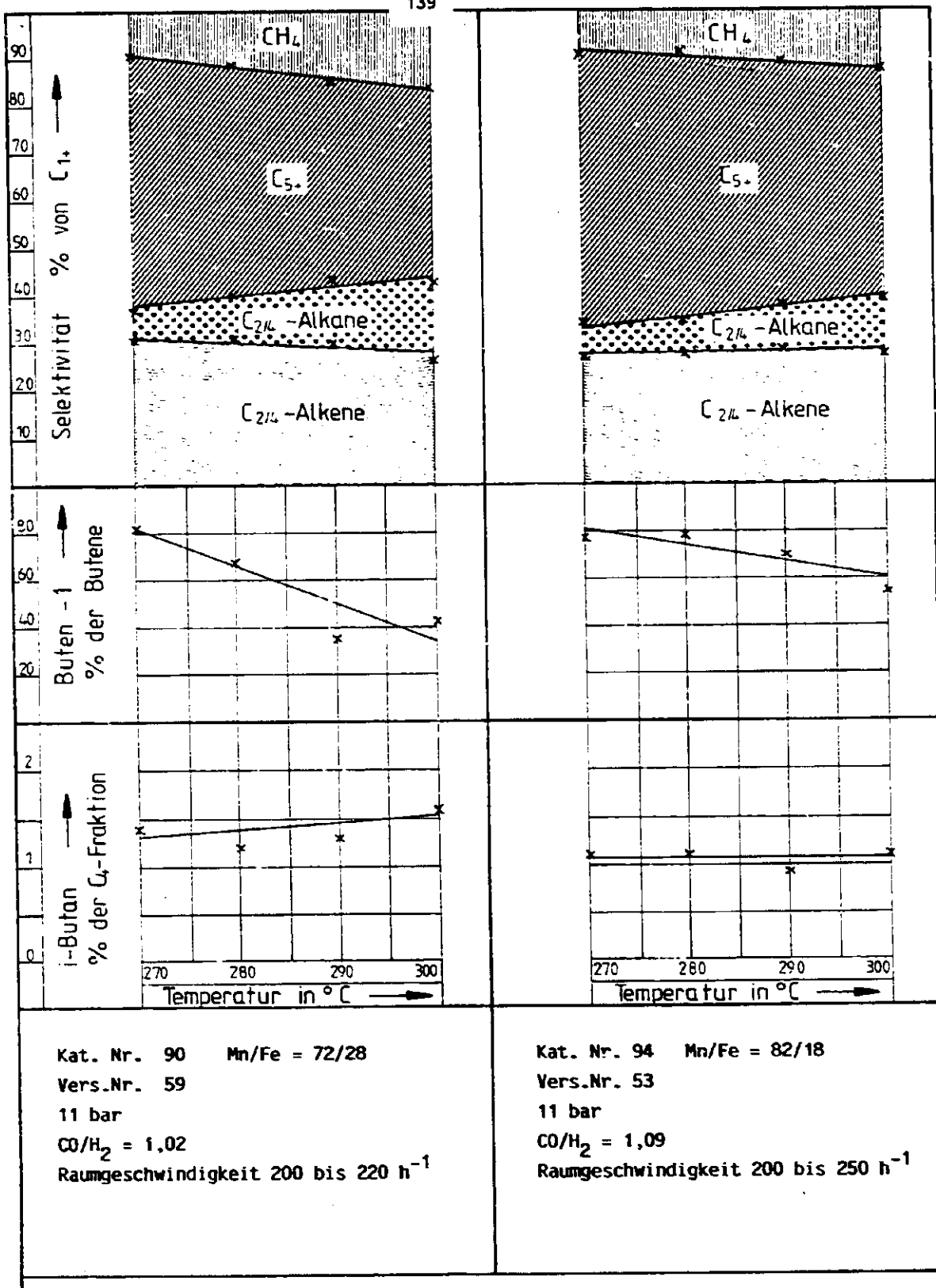


Abb. 6.10: Mn/Fe-Zeolith-Mischkatalysatoren Zeolith-Typ A